

بررسی مقاومت شکست مخلوط‌های آسفالتی اصلاح شده با استفاده از آزمایش نیم‌دیسک تحت بار خمی

حميد بهبهاني (استاد)

محمد رضا محمد علیها (استاد بار)

سمیه آفاجانی شهریور^{*} (دانشجوی کارشناسی ارشد)

حسن آسایش زارچی (دانشجوی کارشناسی ارشد)

دانشکده‌ی هندسی عمران، دانشگاه علم و صنعت ایران

مهندسی عمران، شرکت، (پاییز ۱۳۹۴) دوری ۲ - ۱، شماره ۱ / ۳ ص. ۱۳۵-۱۳۶، (پادشاهی فتن)

ترک‌های ناشی از دمای پایین، اصلی‌ترین خرابی روسازی‌های آسفالتی در فصل زمستان است. یکی از روش‌های مناسب و متداول برای بهبود خصوصیات عملکردی روسازی‌های آسفالتی، به ویژه در شرایط سرویس دهی دمای بالا، به‌کار بردن اصلاح‌کننده‌ها و افزودنی‌هاست. با این حال در مناطق با آب و هوای سرد، که معمولاً روسازی‌جاده‌ها دماهای زیر صفر را تجربه می‌کنند، مکانیسم شکست لایه‌های آسفالتی عمدتاً به دلیل شکست ترد کشسان و رشد ترک‌های آغازشده در درون روسازی اتفاق می‌افتد. از آنجایی که هدف اصلی این مطالعه بررسی اثر افزودنی‌های مختلف شامل: اسید پلی فسفریک (PPA)، استایرن - بوتاکن - استایرن (SBS)، آنتی استریپینگ، پودر لاستیک و ساسویت در دمای پایین در مقاومت شکست مخلوط‌های آسفالتی تحت مود I بوده است، یک سری از نمونه‌های آسفالتی با درصد‌های مختلفی از افزودنی‌های ذکر شده ساخته شدند و سپس نمونه‌های آزمایشگاهی در دمای معین زیر صفر درجه‌ی سانتی‌گراد (C ۱۵-۱) تحت بارگذاری مونوتیک متقارن با استفاده از فیکسچر خمی سه‌ نقطه‌یی قرار گرفتند.

behbahan@iust.ac.ir
mrm_aliha@iust.ac.ir
s.aghajani@civileng.iust.ac.ir
asayesh@civileng.iust.ac.ir

واژگان کلیدی: چقرمگی شکست، SCB، افزودنی، مود I.

۱. مقدمه

ترک‌های حرارتی (ترک‌های ناشی از دمای پایین) نسبت به سایر خرابی‌ها نقش تعیین‌کننده‌تری دارد.^[۱] به‌کارگیری فردهای خالص، نیازهای عملکردی ساخت راه را که به طور فرازینده‌ی در معرض بارهای سنگین، ترافیک سنگین و شرایط محیطی مختلف قرار می‌گیرد، تأمین نمی‌کند. وقتی استفاده از قیر تولیدشده، نیازهای آب و هوایی، ترافیکی و سازی‌ی روسازی را تأمین نمکند، اصلاح‌کننده به عنوان یکی از جایگزین‌های قابل قبول برای بهبود خصوصیات آن به‌کار می‌رود. اصلاح‌کننده، راه حلی برای فاقع‌آمدن بر خرابی‌های روسازی ناشی از نقص خصوصیات قیر است و در نتیجه عملکرد روسازی بتن آسفالتی را بهبود می‌بخشد. افزودنی استایرن - بوتاکن - استایرن، پودر لاستیک^۲، اسید پلی فسفریک، ساسویت^۳ و آنتی استریپینگ^۴ از جمله افزودنی‌های پرکاربرد در راه‌سازی هستند. پژوهش‌های بسیاری در زمینه‌ی اصلاح قیر و مخلوط‌های آسفالتی به ویژه در شرایط سرویس دهی در دمای پایین انجام شده است.^[۵-۶] با این حال در مناطق با آب و هوای سرد، که معمولاً روسازی‌جاده‌ها دماهای زیر صفر را تجربه می‌کنند، مکانیسم شکست لایه‌های آسفالتی، عمدتاً به دلیل شکست ترد کشسان و رشد ترک‌های

تجربیات به دست آمده از عملکرد روسازی راه‌ها در سال‌های اخیر نشان داده است که این روسازی‌ها پس از مدتی دچار خرابی‌هایی مانند: ترک خوردگی، شیارافتادگی در مسیر عبور چرخ‌ها، قیززدگی، نشست و برخی خرابی‌های دیگر می‌شوند. بروز این خرابی‌ها نه فقط باعث کاهش عمر مفید روسازی (عمر بهره‌برداری از روسازی) و ایمنی استفاده‌کنندگان از راه می‌شود، بلکه باعث افزایش مخازن نگهداری و بهسازی روسازی و همچنین افزایش مخازنی می‌شود که استفاده‌کنندگان از راه به علت خرابی روسازی و از ارت ناشی از آن متتحمل می‌شوند. ترک‌های ناشی از دمای پایین در روسازی‌های آسفالتی از جمله پدیده‌های رایج در مناطق سردسیر (که درجه حرارت هوا گاهی به C ۱۰- یا کمتر می‌رسد) است. عوامل مختلفی در بروز ترک‌های ناشی از دمای پایین مؤثر است، ولی می‌توان گفت عامل قیر، مهم‌ترین نقش را در این خصوص به خود اختصاص می‌دهد.^[۷]

شکل ۱، میزان اثر قیر در ایجاد ترک‌های ناشی از دمای پایین (ترک‌های حرارتی)، شیار جای چرخ و ترک‌های خستگی را نشان می‌دهد، که مطابق آن، قیر در بروز

* نویسنده مسئول

تاریخ: دریافت ۱۸/۳/۱۳۹۲، اصلاحیه ۱/۱۳۹۳، پذیرش ۱۰/۱۳۹۳.

پژوهش‌های گستردگی در زمینه‌ی مقاومت شکست مخلوطهای آسفالتی، با استفاده از مفاهیم انرژی شکست و ضربه شدت تنش، با به کارگیری روش‌های عددی، مدل‌سازی و آزمایشگاهی توسط پژوهشگران انجام شده است.^[۵] دانشگاه دلف پیشگام آزمایش نیم دیسک (SCB) در مخلوطهای آسفالتی گرم است. پژوهشگران بسیاری برای انجام آزمایش‌های شکست از نمونه‌های SCB استفاده کرده‌اند.^[۶-۸] نمونه‌های نیم دیسک تحت بار خشمی با ترک لبه‌ی، به دلیل امکان تهیه‌ی ساده و آسان توسعه دستگاه تراکم مارشال یا ژیراتور^۹ و یا معزه‌های به دست آمده از سطح جاده‌ها، نمونه‌های مناسب‌تری برای انجام آزمایش‌های شکست در مخلوطهای آسفالتی هستند.

برخی پژوهشگران مطالعاتی نیز در زمینه‌ی بررسی اثر مشخصات مخلوط آسفالتی شامل: نوع قبرن، دانه‌بندی و جنس صالح سنگی، درصد فضای خالی، تغییرات دمایی و شرایط بارگذاری در مقاومت شکست مخلوطهای آسفالتی انجام داده‌اند.^[۹] نکته‌ی مهم آنکه در مطالعات صورت‌گرفته کمتر به رفتار شکست مخلوطهای آسفالتی اصلاح شده توجه شده است. این در حالی است که استفاده از افزودنی‌ها، یکی از روش‌های مؤثر در بهبود عملکرد مخلوطهای آسفالتی در دماهای بالا و پایین است. با وجود این، با توجه به اثرباره افزودنی‌ها در رفتار ارجاعی لزج قیر، بررسی عملکرد مخلوطهای آسفالتی اصلاح شده به خصوص در دمای پایین حائز اهمیت است. این پژوهش با هدف بررسی رفتار شکست مخلوطهای آسفالتی اصلاح شده در شرایط مختلف بارگذاری تحت مدهای کشش خالص انجام شده است.

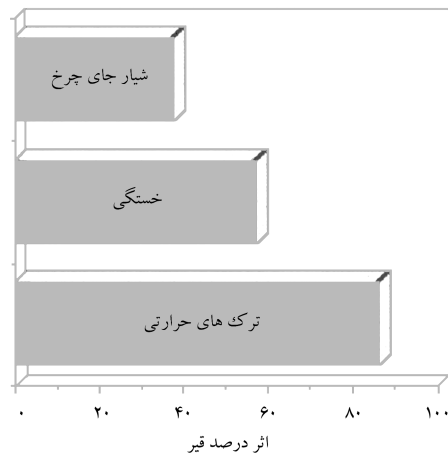
بر این اساس از استایرن - بوتادین - استایرن، ساسوبیت، پودر لاستیک، آنتی استریپینگ، اسید پلی‌فسفریک به عنوان مهم‌ترین افزودنی‌های مورد استفاده در مخلوطهای آسفالتی گرم و نیمه‌گرم استفاده شده است. این تذکر لازم است که مجموع افزودنی‌ها به جز پودر لاستیک در پروژه‌های اجرایی روسازی ایران مورد استفاده قرار گرفته است. صالح سنگی و نوع قیر مصرفی نیز با توجه به کاربرد وسیع آن در ایران انتخاب شده است.

۲. مشخصات صالح سنگی و قیر

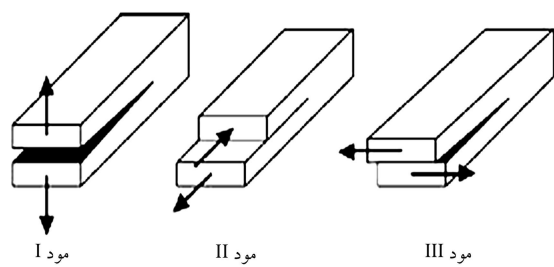
در این پژوهش به منظور ساخت نمونه‌های آسفالتی از قیر خالص ۶۰، ۷۰ تولیدی پالایشگاه تهران به عنوان قیر پایه، صالح سنگی آهکی معدن اسب چران دمانوند و دانه‌بندی شماره ۴ آبین نامه‌ی روسازی راه (نشریه‌ی ۲۳۴) با بزرگ‌ترین اندازه‌ی اسمی صالح ۱۲/۵ میلی‌متر استفاده شده است، که دانه‌بندی آن در جدول ۱ ارائه شده است. قیر مصرفی مورد استفاده نیز قیر خالص با درجه‌ی نفوذ ۶۰، ۷۰ بوده است. نوع و خصوصیات آن در جدول ۲ ارائه شده است.

۳. مشخصات افزودنی‌های مصرفی

در این پژوهش به منظور بررسی اثر اصلاح‌کننده‌های مختلف در میزان مقاومت مخلوطهای آسفالتی در مقابل ترک‌های برودتی از ۵ نوع افزودنی شامل: ۱. استایرن - بوتادین - استایرن (SBS) جدول ۲، ۲. پودر لاستیک، ۳. ساسوبیت، ۴. اسید پلی‌فسفریک (Staphos) و ۵. آنتی استریپینگ (P) Stardope استفاده شده است، که مشخصات کامل آن‌ها در ادامه توضیح داده شده است.



شکل ۱. نقش قیر در بروز ترک‌های حرارتی، ترک‌های خستگی و شیار جای چرخ.^[۲]



شکل ۲. انواع مدهای ترک‌خوردگی تحت بارگذاری‌های مختلف.^[۵]

ایجاد شده در درون روسازی اتفاق می‌افتد. چقمرمگی شکست یکی از مهم‌ترین پارامترها برای تعیین رشد ترک و شکست مواد ترک‌دار و سازه‌های مثل روسازی‌های آسفالتی است. تخفیف استحکام شکست و رشد ترک در لایه‌ی آسفالتی تحت شرایط بارگذاری اعمالی با استفاده از آزمایش‌های شکست روی آسفالت دارای ترک، امکان پذیر است. از آنجا که انجام آزمایش شکست در شرایط واقعی لایه‌ی آسفالتی ترک‌دار پیچیده و پرهزینه است، لذا بررسی تجربی شرایط رشد ترک و بار بحرانی شکست با استفاده از نمونه‌های آزمایشگاهی مناسب انجام می‌شود. انتخاب این نمونه‌ها باید به‌گونه‌ی باشد که تا حد ممکن شرایط تغییرشکل ایجاد شده در لایه‌ی آسفالتی سطح جاده را به خوبی شبیه‌سازی کند تا محاسبه‌ی آزمایشگاهی باشد که این نمونه‌ها در شرایط مختلف بارگذاری، بتوان رفتار رشد ترک و مقاومت شکست در لایه‌ی آسفالتی واقعی را تخمین زد. نحوی بازشدن ترک‌ها ناشی از اعمال بارهای وارد در حالت کلی به ۳ م تقسیم می‌شود (شکل ۲):^[۱]

۱. مد بازشوندگی (کششی) (مد I): در این حالت وجود ترک به سادگی از هم دور می‌شوند. این شکل از گسیختگی، در اثر کشش خالص ناشی از گردایان حرارتی در عمق لایه‌ها و نیز واردشدن بار ترافیکی بر رأس ترک است.

۲. مد برشی (لغزشی) (مد II): در این حالت وجود ترک نسبت به هم در جهت عمود بر لبه‌ی ترک می‌لغزند. این مد ناشی از بارگذاری برشی در صفحه‌ی ترک است. در این حالت ترک در اثر تنش‌های بشی حاصل از بارگذاری و عبور ترافیک ایجاد می‌شود و سپس در لایه، گسترش پیدا می‌کند.

۳. مد پارگی (مد III): این مد ناشی از نیروی برشی اعمالی در صفحه‌ی خارج از سطح ترک است.

جدول ۴. دانه‌بندی پودر لاستیک مشن ۴۰.

اندازه‌ی الک	رد شده (%)	مانده (%)	μm
۳۰ (۶۰۰)	۰	۱۰۰	
۴۰ (۴۲۵)	۸/۲	۹۱/۸	
۵۰ (۳۰۰)	۳۳	۵۸/۸	
۱۰۰ (۱۵۰)	۴۷/۵	۱۱/۳	
۲۰۰ (۷۵)	۱۱/۳	۰	

است. قیر لاستیکی با استفاده از روش تروبا استفاده از مخلوطکن برش بالا (۶۰۰۰ دور در دقیقه) در دمای تقریبی 175°C تهیه و به مدت ۱۲۰ دقیقه عمل اختلاط انجام شده است.^[۱۱]

۳. ساسوبیت

در این پژوهش از ساسوبیت گربنولی به میزان ۲/۵٪ وزن قیر استفاده شده است، که در دمای 130°C به مدت ۱۰ دقیقه با مخلوطکن با برش پایین عمل اختلاط انجام شده است. استفاده از این افزودنی باعث افزایش نقطه‌ی نرمی و کاهش نفوذپذیری قیر اصلاح شده می‌شود.^[۱۱]

۴. اسید پلی فسفریک

Starphos، یک افزودنی براساس اسید پلی فسفریک است که به منظور اصلاح خواص شیمیایی قیر به کار می‌رود و باعث بهبود خواص رئولوژیکی^۱ قیر می‌شود. این افزودنی که توسط شرکت starasphalt ابداع شده است، نقطه‌ی نرمی قیر را افزایش و درجه‌ی نفوذ قیر را کاهش می‌دهد.^[۱۱] اختلاط قیر با اسید پلی فسفریک، به علم مایع بودن آن و عدم نیاز به ذوب و شکسته شدن آن در حین اختلاط، مستلزم دما و زمان کمتری است. در این پژوهش مقدار ماده‌ی مصرفی برابر ۱٪ وزن قیر انتخاب و در دمای 160°C به مدت ۶۰ دقیقه عمل اختلاط در مخلوطکن انجام شده است.^[۱۱]

۵. ماده‌ی ضد عریان شدنگی

ماده‌ی ضد عریان شدنگی (stardope ۱۳۰ p)، تأمين‌کننده‌ی چسبندگی فوق العاده بین قیر و مصالح است، که ناشی از ایجاد پیوندهای هیدروژنی قوی است. این عمل نه فقط بر روی مصالح اسیدی از قبیل: کوارترها، گرانیت‌ها، سنگ‌های آذرین و عمدتی سیلیکات‌ها (به دلیل بارهای منفی سطح آن‌ها ناشی از یون است و جاذب رطوبت هستند)، بلکه بر روی مصالح با منشاء بازی (همانند: دولومیت، سنگ آهک، و غیره) است که عمدتاً پایه‌ی کربنی دارند) نیز که از یون‌های با بار مثبت تشکیل شده‌اند، انجام می‌گیرد. stardope ۱۳۰ p با استفاده از مشتقهای مواد فسفری تهیه و توسط شرکت starasphalt ابداع شده است. در این آزمایش مقدار ماده‌ی مصرفی برابر ۴٪ مقدار قیر انتخاب و در دمای 145°C با برش پایین به مدت ۳۰ دقیقه در مخلوطکن، عمل اختلاط انجام شده است.^[۱۱]

۴. روش آزمایش

مراحل انجام کارهای آزمایشگاهی بدین شرح بوده است:

جدول ۱. مشخصات دانه‌بندی مورد استفاده در تهیه‌ی نمونه‌های آسفالتی.

اندازه‌ی الک	درصد وزنی	دامنه‌ی مجاز درصد
وزنی رد شده از هر الک	رد شده از هر الک	وزنی رد شده از هر الک
۱۹ میلی‌متر ($3/4$ اینچ)	۱۰۰	۱۰۰ میلی‌متر
۱۲/۵ میلی‌متر ($1/2$ اینچ)	۹۰-۱۰۰	۹۵
۹ میلی‌متر ($3/8$ اینچ)	-	--
۴۴-۷۴ میلی‌متر (شماره ۴)	۴۴-۷۴	۵۹
۲۸-۵۸ میلی‌متر (شماره ۸)	۲۸-۵۸	۴۳
۰/۵ میلی‌متر (شماره ۳۰)	-	--
۰/۳ میلی‌متر (شماره ۵۰)	۵-۲۱	۱۳
۰/۰۷۵ میلی‌متر (شماره ۱۰۰)	-	--
۰/۰۷۵ میلی‌متر (شماره ۲۰۰)	۲-۱۰	۶

جدول ۲. مشخصات قیر مصرفی.

خصوصیات	قیر	روش آزمایش	۶۰, ۷۰
وزن مخصوص در درجه سانتی‌گراد	۱/۰۳	ASTM D-۷۰	۲۵
درجه‌ی نفوذ در درجه سانتی‌گراد	۶۲	ASTM D-۵	۲۵
نقطه‌ی نرمی (درجه سانتی‌گراد)	۴۹	ASTM D-۳۶	۲۵
خاصیت انگشتی در درجه سانتی‌گراد	۱۰۰	ASTM D-۱۱۳	۲۵
نقطه‌ی اشتعال	۳۰۸	ASTM D-۹۲	۲۵
نقطه‌ی احتراق	۳۱۷	ASTM D-۷۰	۲۵

جدول ۳. مشخصات SBS.

پلیمر	نوع	شرکت	ساختمان	درصد
استایرن	مولکولی	سازنده	استایرن	پلیمر
۳۱	خطی	dynasol	Carl Prene	۵۰/۱
			SBS	

۱.۳. استایرن - بوتا دین - استایرن (SBS)

روش اختلاط به این ترتیب بود که ابتدا قیر 150°C گرم و بعد از آن به مدت ۱۰ دقیقه با دور کم با پلیمر SBS مخلوط شد تا اختلاط اولیه‌ی قیر و پلیمر انجام شود. سپس دمای قیر به 180°C افزایش یافت و پلیمر SBS و قیر با استفاده از مخلوطکن با برش زیاد (۶۰۰۰ دور بر دقیقه) به مدت ۴۰ دقیقه با هم ترکیب شدند. مقدار SBS انتخاب شده در این پژوهش برابر ۴٪ وزنی قیر مصرفی بود.^[۱۰]

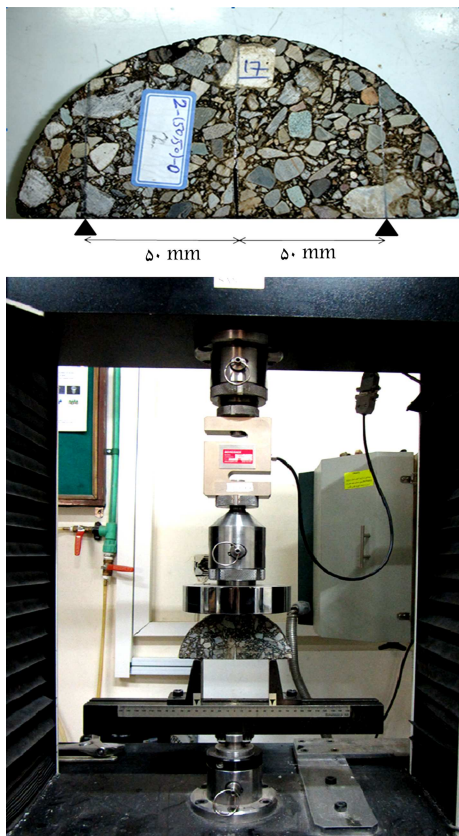
۲.۳. پودر لاستیک

هنگام اختلاط پودر لاستیک با قیر، ذرات پودر لاستیک مقداری از روغن‌های سبک و آروماتیک^۷ قیر را جذب می‌کنند و تا چند برابر متورم می‌شوند، که این فرایند در عملکرد قیر تأثیر می‌گذارد و خواص آن را تغییر می‌دهد. مقدار تورم ذرات پودر لاستیک به شکل سطح ذرات و روش آسیاب کردن پودر لاستیک بستگی دارد. در این مطالعه از پودر لاستیک مشن ۴۰ استفاده و دانه‌بندی آن در جدول ۴ ارائه شده است.

در این پژوهش از ۱۰٪ پودر لاستیک خردشده در دمای محیط استفاده شده

۱.۴. ساخت نمونه‌های آزمایشگاهی

چقرمگی شکست، یک خاصیتی مکانیکی است که میزان مقاومت در مقابل شکست ناگهانی یا سریع مواد را در حضور ترک بیان می‌کند. بنابراین روسازی‌های آسفالتی باید دارای سطحی از چقرمگی شکست باشند، که در مقابل تنش‌های وارده در دامنه‌ی دماهای مختلف، که روسازی‌های آسفالتی در معرض آن قرار می‌گیرند، مقاوم باشند. آزمایش‌ها در دمای 15°C – انجام شده‌اند. به منظور انجام آزمایش‌ها و بدست آوردن منحنی بار – جابجایی، قطعات آزمایشگاهی با استفاده از دستگاه Universal با ظرفیت ۱۵ تن تحت بارگذاری خشن سه نقطه‌یی قرار گرفته‌اند. در این پژوهش، کلیه‌ی بارگذاری‌ها به صورت استاتیکی و با نزد 3 mm/min انجام شده است. شکل ۴، نحوه بارگذاری را نشان می‌دهد. پس از بارگذاری با نزد مذکور نتایج بار – جابجایی مربوط به هر قطعه توسط دستگاه ثبت شده است. نمونه‌ی از منحنی بار – جابجایی به دست آمده در شکل ۵ مشاهده می‌شود، که رابطه‌ی خطی به دست آمده میان بار و جابجایی، نشان از خطی و ترد بودن رفتار ماده‌ی آسفالتی در دمای 15°C – است. در این حالت، مقادیر چقرمگی شکست هر نمونه از بار بحرانی شکست به دست آمده قابل محاسبه است. پس از تهیه‌ی نمونه‌ها به تعداد ۳ عدد برای هر آزمایش، نمونه‌ها در فریزر به دمای آزمون 15°C – رسیدند و تحت بارگذاری سه نقطه‌یی در دستگاه فشار قرار گرفته‌اند و در این حالت بارگذاری، تکیه‌گاه‌های پایین به صورت متقاضن نسبت به ترک، دقیقاً در وسط لبه‌ی پایینی بود، قرار گرفته‌اند (شکل ۶). بار شکست بحرانی نمونه‌ها ثبت و نهایتاً ضرایب شدت تنش بحرانی آن‌ها (K_{IC})، مطابق رابطه‌ی ۱، محاسبه شدند.^[۱۲]



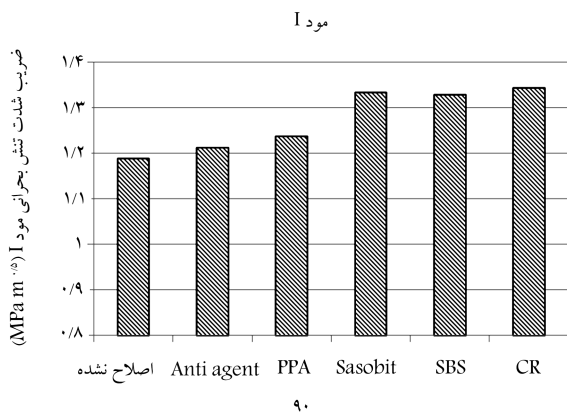
شکل ۴. نمایی از نحوه بارگذاری.

به منظور ایجاد شرایط یکسان در ساخت نمونه‌ها و بررسی اثر تراکم مخلوط‌های آسفالتی اصلاح شده در ساخت کلیه‌ی نمونه‌های مورد آزمایش از ۱٪ قیر بهینه‌ی ثابت (معادل ۴٪ وزنی مخلوط آسفالتی) که حاصل از طرح اختلاط مخلوط آسفالتی اصلاح نشده به روش مارشال بوده است، استفاده شده است. مقادیر ۳ و ۷ درصد فضای خالی به منظور بررسی اثر درصد فضای خالی در مقاومت شکست مخلوط‌های آسفالتی مترکم‌کننده‌ی ژیاتوری با انرژی‌های این میزان فضای خالی، از دستگاه مترکم‌کننده‌ی چرخشی ژیاتوری با ضخامت 3 mm در $35^{\circ}\pm 1\%$ ، در 90° چرخش ژیاتوری حاصل شده است.

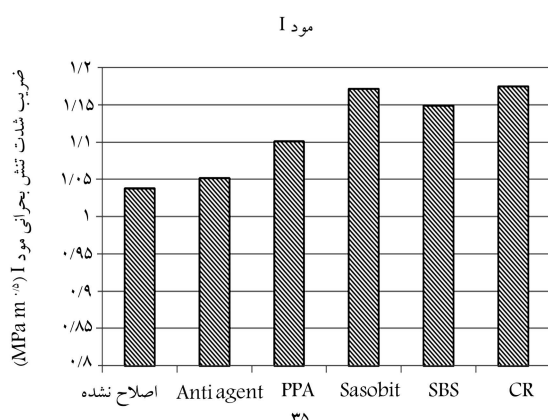
شعاع نمونه‌ها 15°mm و ارتفاع شان به طور تقریبی برابر 130°mm به دست آمده است. نمونه‌های استوانه‌ی ساخته شده در ۳ مرحله تحت برش قرار گرفته‌اند. در مرحله‌ی اول، نمونه‌های استوانه‌یی به دیسک‌هایی با ضخامت 3 mm برش داده شدند. مرحله‌ی دوم، شامل عملیات برش تبدیل دیسک‌های دایره‌یی به نیم دیسک بود. جهت برش نمونه‌های آسفالتی، دستگاه برش با دیسک گردان یا ارهی آتشی مورد استفاده قرار گرفته است، که به دلیل برش با سطح هموار و حذف گرمای ایجاد شده هنگام برش توسط پاشیدن آب مناسب است. در مرحله‌ی سوم، بعد از آماده شدن قطعات نیم دیسکی، ترک‌های لبه‌یی بر روی آن‌ها ایجاد شده است. در این مرحله بر روی قطعات نیم دیسکی با استفاده از تیغه با ضخامت کم، ترک‌هایی به طول 2 cm ایجاد شده است. در شکل ۳ نمایی از مراحل ساخت مشاهده می‌شود.



شکل ۳. نمایی از مراحل ساخت.



شکل ۷. چقزمگی شکست نمونه‌های آسفالتی، تحت تراکم ۳۵ دور.



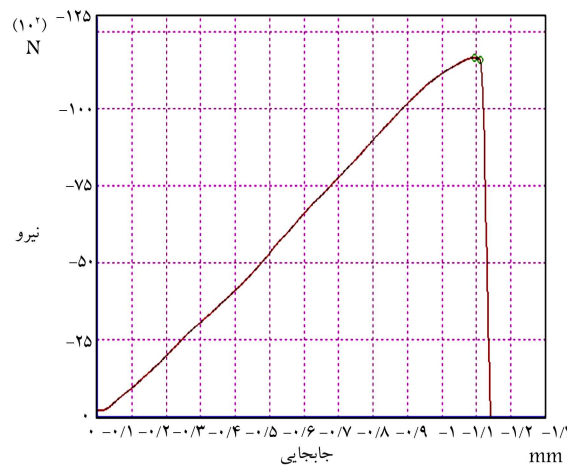
شکل ۸. چقزمگی شکست نمونه‌های آسفالتی، تحت تراکم ۹۰ دور.

لاستیک، SBS: مخلوط آسفالتی با افزودنی استایرن - بوتادین - استایرن، مخلوط آسفالتی با افزودنی ساوسوبیت، و اعداد ۳۵ و ۹۰ تعداد دور تراکم ژیراتوری را بیان می‌کنند.

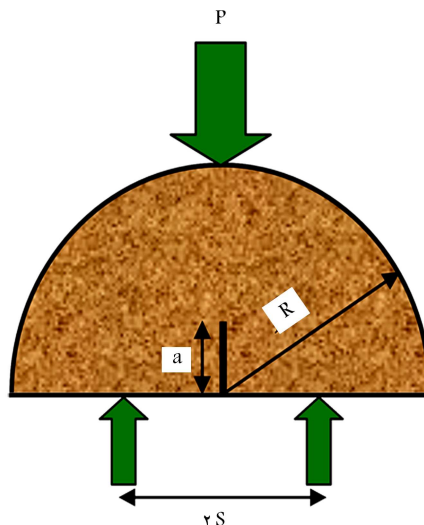
بر اساس آزمایش‌های انجام شده بر روی نمونه‌های ساخته شده تحت بارگذاری مود I ، نتایج حاصل بیان گر این نکته است که مخلوط‌های آسفالتی اصلاح شده تحت بارگذاری چقزمگی شکست مخلوط‌های اصلاح شده، بزرگ‌تر از چقزمگی مخلوط‌های اصلاح شده بوده است. از بین مخلوط‌های آسفالتی اصلاح شده، نمونه‌هایی که در آن‌ها پودر لاستیک استفاده شده بود، بیشترین چقزمگی شکست را نشان دادند. بعد از آن، به ترتیب مخلوط‌های آسفالتی دارای ساوسوبیت و همچنین استایرن - بوتادین - استایرن، بیشترین مقاومت شکست را داشتند. نمونه‌های حاوی آنتی استریپینگ و اسید پلی فسفریک نیز نسبت به آسفالت اصلاح شده، چقزمگی شکست بیشتری داشتند و این مقدار برای اسید پلی فسفریک بیشتر از آنتی استریپینگ بوده است. شکل‌های ۷ و ۸ مقدار چقزمگی شکست نمونه‌های مختلف را تحت تراکم ۹۰ و ۳۵ دور ژیراتوری نشان می‌دهد. این تذکر لازم است که این ترتیب در هر دو حالت تراکم برقار بوده است.

مقاومت زیاد مخلوط‌های اصلاح شده با پودر لاستیک در برابر شکست، بیان گر قابلیت ذخیره‌سازی انرژی این مخلوط آسفالتی است، زیرا تورم قیر در اثر واکنش ذرات پودر لاستیک با قیر از طریق جذب اجزاء آروماتیک قیر باعث بهبود خصوصیات قیر در دمای پایین می‌شود.

SBS نیز از جمله الاستومرهای پرکاربرد در راسازی است، که باعث بهبود



شکل ۵. منحنی بار - جابجایی یکی از نمونه‌های آزمون شده آسفالت.



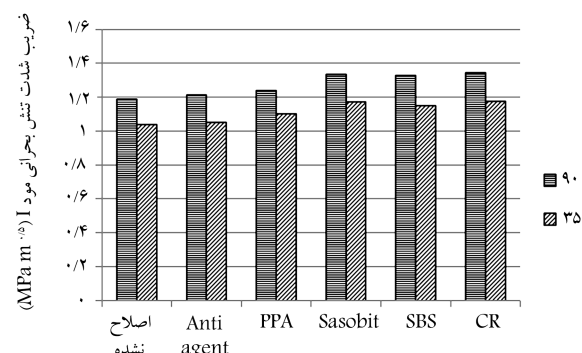
شکل ۶. مشخصات هندسی نمونه.

$$K_{IC} = \frac{P_{cr}}{\sqrt{\pi a}} Y_I(a/R, S/R) \quad (1)$$

که در آن، R شعاع نمونه‌ها و مقدار آن برابر ۷۵ mm است؛ a : طول ترک و برابر ۲۰ mm است؛ t : ضخامت نمونه‌ها و برابر ۳۰ mm است؛ P_{cr} : بار بحرانی شکست است و از نتایج آزمون‌ها مشخص می‌شود. مقدار Y_I مقدار ضرب ب شکل است، که به مقدار a/R و S/R بستگی دارد. در این نوع بارگذاری که در مود I انجام شده است، مقدار Y_I طبق مطالعات انجام شده،^[۱۲] برابر $3/724$ تعیین شده است. بدین ترتیب مقدار چقزمگی شکست برای نمونه‌های مختلف محاسبه شده است.

۵. نتایج و تحلیل

به منظور مقایسه مقاومت در مقابل شکست نمونه‌های آسفالتی با مشخصات مختلف، نتایج به صورت نمودار میله‌بی نشان داده شده‌اند. مخلوط‌های با افزودنی‌های مختلف به صورت نامگذاری‌های ذیل در نمودارها آمده‌اند، که عبارت‌اند از: آسفالتی با افزودنی اسید پلی فسفریک: Anti agent; آسفالتی با افزودنی آنتی استریپینگ: PPA; مخلوط آسفالتی با افزودنی آنتی استریپینگ، CR: مخلوط آسفالتی با افزودنی پودر

$M^c = 1$ 

شکل ۹. تأثیر مقدار تراکم در مقدار چقرمگی شکست.

۶. نتیجه‌گیری

در این مطالعه‌ی آزمایشگاهی تأثیر افزودنی‌های مختلف در مقاومت شکست مخلوطهای آسفالتی بررسی و این نتایج حاصل شده است:

- مخلوطهای آسفالتی اصلاح شده، مقادیر چقرمگی شکست بالایی نسبت به مخلوطهای اصلاح نشده داشته‌اند.
- از بین مخلوطهای آسفالتی اصلاح شده، مخلوط حاوی پودر لاستیک بیشترین مقدار و مخلوط حاوی آنتی استریپینگ کمترین مقدار را نتیجه داده است.
- با افزایش مقدار تراکم، مقدار چقرمگی شکست افزایش یافته است.

خصوصیات قیر در دمای پایین می‌شود. وجود بلاک‌های بوتاکس در این پلیمر به قیر خاصیت کشسان می‌دهد. مخلوطهای اصلاح شده با این پلیمر، قابلیت جذب انرژی بیشتری را دارند، که می‌تواند دلیل افزایش چقرمگی شکست مخلوطهای آسفالتی اصلاح شده با SBS نلقی شود.

ساسویت و یا تمام افزودنی‌های واکسی باعث سخت‌ترشدن مخلوطهای آسفالتی می‌شوند و در محدوده‌ی دمای عملکردی خود، مقدار بار بیشینه‌ی بیشتری نشان می‌دهند. از آنجایی که پارامتر K_C مقاومت مخلوط را در ابتدای شروع رشد ترک نشان می‌دهد و ساسویت نیز باعث افزایش بار بیشینه می‌شود، بنابراین مقدار چقرمگی شکست افزایش می‌یابد.

بنابراین اصلاح کننده‌های مذکور می‌توانند عمر روسازی را در مناطق سردسیر

پانوشت‌ها

1. Styrene- Butadiene-Styrene(SBS)
2. crumb rubber (CR)
3. Sasobit
4. Anti-Stripping
5. semi-circular bend
6. gyratory compactor
7. Aromatic
8. Rheological

منابع (References)

1. Hass, R.C.G. and Phang, W.A. "Relationships between mix characteristics and low-temperature pavement cracking", *Association of Asphalt Paving Technologists Proc.*, **57**, pp. 290-319 (1988).
2. Kennedy, T.W., Huber, G.A., Harrigan, E.T., Cominsky, R.J., Hughes, C.S., Von Quintus, H. and Moulthrop, J.S. "Superior performing asphalt pavements (superpave)", National Research Council, Washington, DC (1994).
3. Sengoz, B. and Isikyakar, G. "Analysis of SBS polymer modified bitumen using fluorescent microscopy and con-
- ventional test methods", *Journal of Hazardous Materials*, **150**(2), pp. 424-432 (2008).
4. Edwards, Y., Tasdemir, Y. and Isacsson, U. "Influence of commercial waxes and polyphosphoric acid on bitumen and asphalt concrete performance at low and medium temperatures", *Materials and Structures*, **39**(7), pp. 725-737 (2006).
5. Kim, H., Wagoner, M.P. and Buttlar, W.G. "Micromechanical fracture modeling of asphalt concrete using a single-edge notched beam test", *Materials and Structures*, **42**(5), pp. 677-689 (2009).
6. Broek, D., *Elementary Engineering Fracture Mechanics*, Kluwer Academic Publishers, Dordrecht, The Netherlands (1991).
7. Li, X.J. and Marasteanu, M.O. "Using semi circular bending test to evaluate low temperature fracture resistance for asphalt concrete", *Proceedings of the Society for Experimental Mechanics, Inc.*, **50**(7), pp. 867-876 (2010).
8. Liu, J. "Low temperature cracking evaluation of asphalt rubber mixtures using semi-circular bending test", *Advanced Materials Research*, **243-249**, pp. 4201-4206 (2011).

9. Li, X.J. and Marasteanu, M.O. "Using semi circular bending test to evaluate low temperature fracture resistance for asphalt concrete", *Proceedings of the Society for Experimental Mechanics, Inc.*, **50**(7), pp. 867-876 (2010).
10. Vural, K.B. and Colak, H. "Laboratory comparison of the crumb-rubber and SBS modified bitumen and hot mix asphalt", *Construction and Building Materials*, **25**(8), pp. 3204-3212 (2011).
11. Fazaeli, H., Amini, A.A., Moghadas Nejad, F. and Behbahani, H. "Rheological properties of bitumen modified with a combination of Fischer-Tropsch paraffin wax (Sasobit®) and other additives", EATA Conference (2013).
12. Ayatollahi, M.R. and Aliha, M.R.M. "Wide range data for crack tip parameters in two disc-type specimens under mixed mode loading", *Computational Materials Science*, **38**(4), pp. 660-670 (2006).
13. Aliha, M.R.M., Ayatollahi, M.R., Smith, D.J. and Pavier, M.J. "Geometry and size effects on fracture trajectory in a limestone rock under mixed mode loading", *Engineering Fracture Mechanics*, **77**(11), pp. 2200-2212 (2010).